

다중모드 도파로와 홀로그램 필터를 이용한 광신호 교환

신동학*

Optical switching by use of a multimode waveguide and hologram filters

Dong-Hak Shin

요 약

$M \times 1$ 의 다중모드 도파로와 N 개의 홀로그램 필터를 이용하여 M 개 입력단자와 N 개 출력단자 사이에 광신호 교환을 수행할 수 있는 방법을 제안한다. 광신호 경로는 $M \times 1$ 의 다중모드 도파로를 사용하고, 이것으로부터 발생하는 스페클 패턴들을 연결 목적지를 결정하는 목적코드로 이용한다. 제안한 시스템에 대해 광신호 교환이 가능함을 실험적으로 보였다.

ABSTRACT

We present a method to implement a $M \times N$ switching system by use of an $M \times 1$ multimode waveguide and N hologram filters. The pass of optical signals is provided by an $M \times 1$ multimode waveguide. The complex speckle patterns generated from the multimode waveguide are recorded into the N hologram filters and used as the code for destination. The feasibility of our method is experimentally demonstrated.

키워드

광교환, 멀티모드 도파로, 홀로그램

I. 서 론

최근 다중모드 파이버에서 발생하는 스페클 패턴을 이용하여 홀로그래피 메모리나 광신호 교환과 같은 응용시스템에 대한 연구가 있었다 [1,2]. 홀로그래피 메모리에서는 광섬유로부터의 스페클 패턴을 체적홀로그램을 기록하고 읽기 위한 기준빔으로 사용하였다[1]. 우리는 이전의 논문에서 다중모드 광섬유 커플러에서 발생하는 스페클 패턴을 이용한 광신호 교환 방법을 제안하였다[2]. 다중모드 광섬유 커플러는 신호빔의 경로로 사용되고 그 스페클 패턴은 목적지의 연결코드로 사용되었다. 그러나 출력빔의 효율이 출력단자의 개수가 증가할수록 출력빔이 약해지며, 각 출력단자에 서로 다른 홀로그램 필터를 구성하기 때문에

시스템적으로 복잡한 단점을 가지고 있다. 본 논문에서는 이런 문제점을 개선할 수 있으며, 간단한 도파로형 광신호 교환 시스템을 구현할 수 있는 방법을 제안한다. 제안한 방법은 $M \times 1$ 의 다중모드 도파로(Multimode waveguide, MW)와 N 개의 공간다중화된 홀로그램 필터를 이용하여 M 개 입력단자와 N 개 출력단자 사이에 광신호 교환을 수행한다.

II. 광신호 교환의 원리

그림 1은 본 논문에서 제안하는 M 개의 입력단자(Input terminal)와 N 개의 출력단자(Output terminal) 사이의 광신호 교환을 구현할 수 있는 방

* 부경대학교, 전자컴퓨터정보통신공학부

접수일자 : 2004. 9. 8

법을 보여준다. 이 방법은 크게 2가지 부분으로 나누어진다. 하나는 광신호 교환을 위한 스페클 패턴(목적지 코드)을 만드는 $M \times 1$ 다중모드 도파로이고, 다른 하나는 이를 스페클 패턴들을 분리하기 위한 N 개의 공간다중화된 홀로그램 필터이다. 각각의 입력측 도파로는 입력 신호빔의 상태를 조절할 수 있는 조절부(Control part)를 포함한다. 이 조절부에서는 입사빔의 각도조절, 입력빔의 편광, 그리고 입력 도파로의 굴절률 변화 등을 조절할 수 있도록 설계될 수 있다. 하나의 출력측 도파로는 홀로그램 매질에 직접적으로 연결되어 있다. 홀로그램 매질내에는 출력단자에 대응하여 연결되도록 N 개의 홀로그램 필터가 기록되어 있다.

사실 다중모드 광섬유 도파로에 입력되는 빔은 모드 섞임 현상에 의해 스페클 패턴으로 출력된다. 이 모드 섞임 현상은 일차적으로 선형적이고 결정적 과정(deterministic process)이다. 그러나 매우 복잡한 현상이어서 출력 단자에서 얻는 각 모드의 위상지연은 $[0, 2\pi]$ 범위에서 균일한 확률밀도 함수를 갖는 통계적으로 독립인 랜덤 변수로 취급된다 [3,4]. 이러한 모드들이 합해져서 나타나는 스페클 패턴은 다중모드 도파로의 물리적 상태에 따라 달라질 수 있다. 예를 들면 입사빔의 입사각, 빔편광, 그리고 도파로의 굴절률 변동 등으로 상태가 변한다. 그러므로 M 개의 입력빔들을 각각의 입력측 도파로에 하나씩 인가할 때, 출력측 도파로에서는 M 개의 서로 다른 스페클 패턴을 얻게 된다. 그리고 여기되는 모드의 수가 충분히 많으면 각 출력측 도파로에서 얻어지는 M 개의 스페클 패턴들은 서로 직교하게 된다. 마찬가지로, 하나의 입력측 도파로에서 N 개의 서로 다른 물리적 입력 상태를 인가함으로써, 출력측 도파로에서 서로 직교하는 N 개의 스페클 패턴을 얻을 수 있다. 다중모드 도파로가 물리적으로 안정되어 있다면, 이들 스페클 패턴들은 시간적으로 변하지 않으며 또한 재생 가능하다.

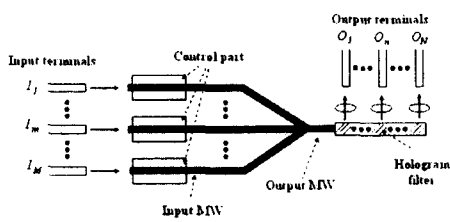


그림 1. 다중모드 도파로와 홀로그램 필터를 이용한 $M \times N$ 광신호 교환.

Fig. 1 The $M \times N$ switching system by use of a multimode waveguide and hologram filters

그림 2에서 m 번째 입력측 도파로에 신호빔 I 를 입력상태 p ($p=1, 2, \dots, N$)로 인가하는 경우를 I_m^p 로 표시하자. 이것은 m 번째 입력단자에서 p 번째 출력단자로의 연결을 의미한다. 이때 출력측 도파로에서 얻어지는 스페클 패턴의 복소 전계분포를 E_m^p 로 나타내기로 하자. 그러면 m 과 n 번째 입력단자에 각각 입력상태 p 와 q 를 인가하여 얻은 2개의 스페클 패턴 사이에는

$$\begin{aligned} \text{corr}(z) &= \int E_m^{p*}(x, z) E_n^q(x, z) dx \\ &= C \delta_{m,n} \delta_{p,q} \end{aligned} \quad (1)$$

가 성립된다[4]. 여기서 C 는 양의 상수이고 *는 복소공액을 의미한다. $\delta_{m,n}$ 과 $\delta_{p,q}$ 는 Kronecker delta 함수이다. 첨자 m 과 n 은 1에서 M 까지의 정수이고, p 와 q 는 1에서 N 까지의 정수이다. 게다가 그림 2(a)에서의 다중모드 도파로는 선형 시스템으로 볼 수 있다. 즉, 두 개 혹은 그 이상의 입력 신호빔이 동시에 입력측 도파로에 인가되면, 출력측 도파로에서 얻어지는 스페클 패턴은 각 입력 신호빔이 개별적으로 인가되었을 때의 출력 스페클 패턴을 더한 것과 같다.

한편 입력단자에서 출력단자로 신호를 보낼 때 이 신호를 분리하기 위해 그림 2과 같이 공간다중화된 홀로그램 필터를 이용한다[5]. 이 경우 스페클 패턴은 식 (1)의 성질을 이용하여 쉽게 분리하여 검출할 수 있다. 하나의 홀로그램 필터는 중첩되어 있는 스페클 패턴들 중에서 특정한 하나의 스페클 패턴을 분리할 수 있다. 그림 2(a)는 p 번째 공간다중화된 홀로그램 필터를 기록하는 방법을 설명한다. 모든 입력 단자에 입력 신호빔이 동시에 입력되고 각각의 조절부의 상태가 동일하게 한다. 즉 $u_1 = u_2 = \dots = u_M = p$. 그러면 출력측 도파로에서 얻어지는 중첩된 스페클 패턴은 $\sum E_m^p$ 이 된다. 이 중첩된 스페클 패턴을 p 번째의 기준빔과 함께 홀로그램 매질에 기록한다. 그러면 매질 내에는 $\sum E_m^{p*}$ 에 비례하는 굴절을 변화 Δn 이 얻어진다. 그러면 p 번째의 홀로그램 필터가 완성된다. 이와 같은 동일한 과정을 N 개의 출력단자에 대해 순차적으로 반복한다. 기록매질의 서로 다른 공간에 홀로그램 필터를 제작하기 위해서는 위치이동기를 이용하여 기준빔을 이동시킨다. 모든 홀로그램 필터를 제작한 후, 기준빔을 차단한다.

그럼 그림 2(b)와 같이 n 번째 입력단자에서 q 번째 출력단자로의 광신호 교환을 고려하자. 그러면 n 번째 입력측 도파로에 입력상태 $u_n = q$ 를 가지는 입력빔 I_n^q 을 인가되고, 출력측 도파로에서 얻어지는 스펙클 패턴은 E_n^q 가 되다. 이 출력 스펙클 패턴이 공간다중화된 홀로그램 필터에 인가되면 q 번째 출력단자로 회절되는 빔은 다음과 같다.

$$\text{corr}(z_q) \propto \int \sum_{m=1}^M E_m^{q*}(x, z_q) E_m^q(x, z_q) dx \quad (2)$$

식 (2)로부터 단지 $m = n$ 인 경우에만 q 번째의 출력단자에 상관 첨두값이 발생하며, 다른 경우에는 모두 0이 된다. 따라서 q 번째 출력에 상관 첨두값이 나타남은 $m = n$ 일 때이므로 n 번째 입력단자가 q 번째 출력으로 광신호 교환이 되었음을 알 수 있다. 이와 같은 방식으로 여러 개의 입력단자가 여러 개의 출력단자로 동시에 독립적으로 광신호 교환이 될 수 있다.

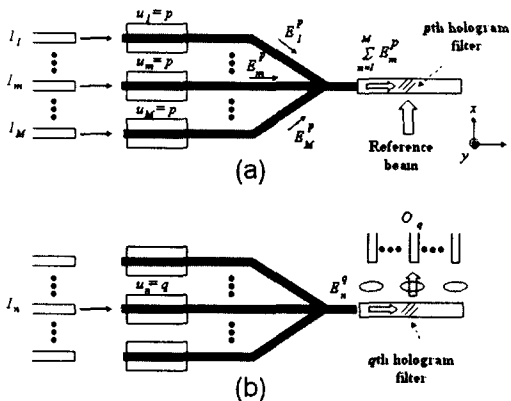


그림 2. (a) 홀로그램 필터의 기록. (b) 홀로그램 필터의 재생.

Fig. 2 (a) The recording and (b) the reading for a hologram filter.

III. 광신호 교환 실험

본 논문에서 제안하는 방법에 대해 2×2 의 간단한 광신호 교환이 가능한 기초적인 광학적 실험을 수행하였다. 광학적 실험 구성도를 그림 3에 나타내었다. 멀티모드 도파로는 2×1 구조의 다중모드 광섬유 커플러를 사용하였으며, 광섬유의 코아 직경은 $200 \mu\text{m}$ 이다. 실험에서 사용한 광원은 514 nm 의 아르곤이온 레이저이고, 빔분할기를 이용하여 기준빔과 신호빔으로 분리하였다. 신호빔은 미

러와 빔분할기를 이용하여 두 개의 서로 다른 경로를 가지는 빔으로 분리시켰다. 각각의 빔은 멀티모드 커플러의 서로 다른 입력단자로 입력된다. 홀로그램 필터 제작을 위한 기록매질로는 Fe가 0.015% 도핑된 LiNiO₃ 광물질 결정을 사용하였다. 서로 다른 스펙클 패턴을 발생시키기 위한 조절부로써 2개의 반파장지연기(HWP1, HWP2)를 그림 3과 같이 각각의 입력단자 앞에 사용하였다. 이 경우 입력 신호빔의 편광을 조절하기 때문에 서로 직교하는 2 종류의 스펙클 패턴을 얻을 수 있다. 이들을 가지고 2개의 공간 다중화 홀로그램을 기록한다. 이때 홀로그램 기록 때의 편광을 일치시키기 위해 추가적인 반파장지연기(HWP3)를 사용하였고, 기준빔을 이동시키기 위해 x 축 이동기를 사용하였다.

먼저 첫 번째 홀로그램 필터를 기록하는 실험을 설명한다. 첫 번째 홀로그램 필터로 기록하기 위해서는 그림 3에서 입력단자 I_1 과 입력단자 I_2 를 모두 개방하고, 반파장지연기를 모두 0도에 두었다. 이 경우 입사빔의 편광은 수직평광이다. 그러면 멀티모드 커플러를 통해 얻어지는 스펙클 패턴은 입력단자 I_1 과 입력단자 I_2 에서 각각 얻은 스펙클 패턴의 중첩이다. 이 중첩된 스펙클 패턴을 첫 번째 기준빔으로 기록매질에 기록하였다. 그러면 첫 번째 홀로그램 필터가 완성된다. 두 번째 홀로그램 필터는 반파장지연기를 모두 45도 회전시킨다. 그러면 입력빔의 편광은 수평편광이 된다. 입사빔의 편광의 변화로 인해 스펙클 패턴이 변화한다. 그리고 기준빔은 x 축 이동기에 의해 2 mm 정도 뒤로 이동한 뒤 기록매질에 입사된다. 이동된 기준빔으로 두 번째 홀로그램 필터를 완성하였다. 두 개의 홀로그램을 기록할 때 기준빔과 스펙클 패턴의 세기는 모두 약 2 mW로 하였다. 하나의 홀로그램을 기록하기 위한 기록시간은 2분이었다. 실험에서 얻는 회절효율은 약 1% 정도였다. 이렇게 낮은 회절효율은 멀티모드 커플러의 마운트가 미세한 움직임에 의해 홀로그램이 잘 기록되지 않은 것으로 생각된다.

2개의 홀로그램 필터를 완성한 후 기준빔을 차단하였다. 그림 4는 스펙클 패턴을 기록한 2개의 홀로그램 필터를 이용하는 광신호 교환 실험 구성도이다. 그림 4(a)는 입력단자 I_1 로부터 출력단자 O_1 또는 O_2 로의 광신호 교환 구성도이며, 그림 4(b)는 입력단자 I_2 로부터의 광신호 교환 구성도이다. 먼저 입력단자 I_1 에서의 광신호 교환에 대해 설명한다. 그림 4(a)에서 입력단자 I_1 에만 빔이 입사되고, 입력단자 I_2 는 차단된다. 이때 출력된 빔을 결정하기 위해서는 홀로그램 기록에 사용한 스펙클 패턴이 중요한 목적지 코드로 사용되어진다. 먼저 입력단자 I_1 앞에 놓여 있는 반파장지연기(HWP1)를 0도가 되도록 할 경우의

스페클 패턴은 첫 번째 홀로그램 필터를 기록한 패턴과 일치한다. 따라서 식 (2)에 의해 첫 번째 홀로그램 필터로부터 빔이 회절되어 CCD에 검출된다. 이에 대한 CCD로 검출된 실험결과를 그림 5(a)에 나타내었다. 반면에 반파장지연기(HWP1)가 45도인 경우의 스펙클 패턴은 두 번째 홀로그램 필터에 기록한 패턴과 일치함으로 두 번째 홀로그램 필터

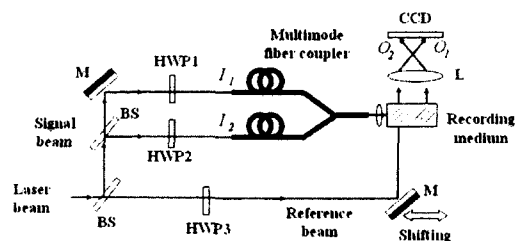


그림 3. 2×2 광신호 교환의 실험 구성도.
Fig. 3 Experimental setup for 2×2 optical switching.

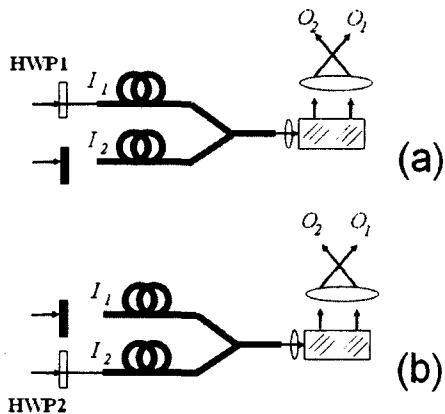


그림 4. (a) 입력단자 I_1 으로부터의 광신호 교환. (b) 입력단자 I_2 로부터의 광신호 교환.

Fig. 4 (a) Optical switching from the I_1 input port. (b) Optical switching from the I_2 input port.

로부터 빔이 회절되며 이를 그림 5(b)에 나타내었다. 동일한 방법으로 입력단자 I_2 로부터 광신호 교환을 수행한다. 그림 5(c)는 반파장지연기(HWP2)가 0도일 경우이고 그림 5(d)는 45도인 경우이다. 그림 5의 결과로부터 제안하는 방법으로 임의의 광신호 교환을 잘 수행할 수 있음을 알 수 있다.

IV. 결 론

결론적으로 다중모드 도파로와 홀로그램 필터를 이용한 간단한 구조의 광신호 교환 방법을 제안하고 기초적인 실험을 수행하였다. 실험 결과로부터 임의의 독립적인 $M \times N$ 광신호 교환이 가능함을 확인하였다. 제안한 방법에 대해서 집적광학기술을 이용하여 소형의 광신호 교환 장치로 구현하는 것이 가능하다[6].

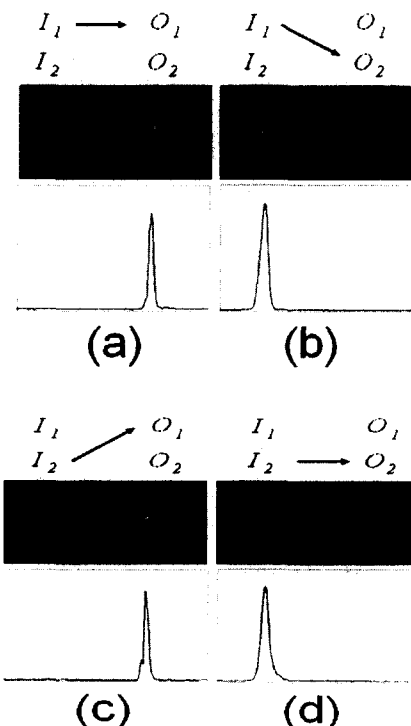


그림 5. 광신호 교환의 실험 결과.
Fig. 5 Experimental switching results.

참고문헌

- [1] Y. H. Kang, K. H. Kim, and B. Lee, "Volume hologram scheme using optical fiber for spatial multiplexing," Opt. Lett. 22, 739-741 (1997).
- [2] J.-S. Jang, D.-H. Shin, J.-Y. Yang, and S. I. Jeong, "Holographic-CDMA-based optical interconnection and switching using multimode fiber couplers," in Proceedings of International Conference on Fiber Optics

- and Photonics (PHOTONICS-96, Madras, India, Dec. 9-13, 1996) 467-472.
- [3] D. Z. Anderson, M. A. Bolshtyansky, and B. Ya. Zel'dovich, "Stabilization of the speckle pattern of multimode fiber undergoing bending," Opt. Lett. 21, 785-787 (1996).
- [4] Y. Jeong and B. Lee, "Effect of a random pattern through a multimode-fiber bundle on angular and spatial selectivity in volume holograms: experiments and theory," Opt. Eng. 41, 4085-4091 (2002).
- [5] A. Vander Lugt, "Signal detection by complex spatial filtering," IEEE Trans. Inform. Theory IT-10, 139-145 (1964).
- [6] X. Lu, D. An, L. Sun, Q. Zhou, and R. T. C "Polarization-insensitive thermo-optic switch based on multimode polymeric waveguides with an ultralarge optical band-
- width," Appl. Phys. Lett. 76, 2155-2157 (2000).

저자 소개

신동학(Dong-Hak Shin)



1996년 2월 부경대학교 정보통신공학과 공학사

1998년 2월 부경대학교 전자공학과 공학석사

2001년 8월 부경대학교 정보통신공학과 공학박사

2001년 10월-2004년 8월 일본 도요하시기술대학 연구원
2004년 9월-현재 부경대학교 전자컴퓨터정보통신공학부 조교